

## ИСПОЛЬЗОВАНИЕ ПЛЕНОК ДИОКСИДА КРЕМНИЯ В КАЧЕСТВЕ АНТИОТРАЖАЮЩЕГО ПОКРЫТИЯ ТЕРМОЭЛЕКТРИЧЕСКОГО ОДНОФОТОННОГО ДЕТЕКТОРА

А.А. КУЗАНЯН\*, С.И. ПЕТРОСЯН, А.С. КУЗАНЯН, Г.Р. БАДАЛЯН

Институт физических исследований НАН Армении, Аштарак, Армения

\*e-mail: astghik.kuzanyan@gmail.com

(Поступила в редакцию 15 апреля 2020 г.)

Антиотражающие слои являются важной частью чувствительных элементов высокоэффективных однофотонных детекторов. Методом электронно-лучевого напыления на подложках  $Al_2O_3$ , AlN, Si и покрытиях  $CeB_6$ ,  $LaB_6$  и W нами получены аморфные пленки диоксида кремния. Исследованы элементный состав, микроструктура и шероховатость поверхности, оптические характеристики образцов, полученных при различных условиях напыления. Показано, что двухслойные покрытия  $SiO_2/Al_2O_3$  и  $SiO_2/AlN$  могут обеспечить высокую эффективность детектирования при регистрации излучения в ближней ИК области, которое используется в телекоммуникационных системах и устройствах квантовой обработки информации.

### 1. Введение

Антиотражающие покрытия находят широкое применение в оптической промышленности, солнечной энергетике, микроэлектронике, производстве военной техники, телекоммуникационной промышленности, квантовых системах и устройствах. Одним из таких устройств являются однофотонные детекторы, которые используются в различных областях современной науки и техники: фотонике, астрофизике, лазерной спектроскопии, физике высоких энергий, квантовой криптографии, метрологии, медицинском приборостроении и так далее [1]. Важнейшими характеристиками однофотонного детектора являются скорость счета, энергетическое разрешение, эффективность детектирования, спектральный диапазон детектирования и рабочая температура [2,3]. В настоящее время рекордными характеристиками обладают сверхпроводящие нанопроволочные однофотонные детекторы (SNSPD – superconducting nanowire single photon detector) [4–6]. Исходя из результатов компьютерного моделирования можно утверждать, что конкурентом сверхпроводящим однофотонным детекторам в недалеком будущем станет термоэлектрический детектор (TSPD – thermoelectric

single-photon detector), концепцию которого предложили армянские и американские ученые в 2000 году [7,8]. Преимуществами TSPD являются простота конструкции чувствительного элемента и нежесткие требования к рабочим условиям.

В предыдущих работах мы рассмотрели в качестве материала термоэлектрического сенсора соединения  $\text{CeB}_6$ ,  $(\text{La}, \text{Ce})\text{B}_6$  и  $\text{FeSb}_2$ , а в качестве поглотителя и теплоотвода –  $\text{W}$ ,  $\text{Pb}$ ,  $\text{Nb}$ ,  $\text{YBCO}$ . Однослойные и трехслойные чувствительные элементы TSPD из этих материалов обеспечивают высокое энергетическое разрешение и высокую скорость счета [9–14]. Для увеличения эффективности детектирования в качестве поглотителя был рассмотрен  $\text{LaB}_6$  и была предложена четырехслойная конструкция чувствительного элемента TSPD [15–17]. Полученные результаты позволяют утверждать, что TSPD может обеспечить терагерцовую скорость счета, энергетическое разрешение не менее 1% и эффективность детектирования на уровне 90% в широком диапазоне электромагнитного спектра.

Для применения однофотонных детекторов в телекоммуникационных системах, устройствах квантовой обработки информации, использующих излучение ближней ИК области, требуется обеспечить эффективность детектирования выше 90%. Увеличить эффективность детектирования можно увеличением оптической связи излучения и чувствительного элемента детектора, что возможно с помощью антиотражающего слоя. В некоторых конструкциях сверхпроводящих детекторов ИК излучения в качестве антиотражающего слоя используется  $\text{SiO}_2$  покрытие [18–20].

Тонкие пленки  $\text{SiO}_2$  широко применяются в оптоэлектронике [21], полупроводниковых приборах [22], телекоммуникационных системах [23] и так далее. Пленки  $\text{SiO}_2$  имеют низкий показатель преломления, низкое поглощение, низкое рассеяние и используются в качестве слоя с низким показателем преломления в оптических системах, таких как интерференционные фильтры, зеркала, и др. [24,25] а также для увеличения оптического пропускания и минимизации потерь энергии в солнечных коллекторах [26]. Пленки  $\text{SiO}_2$  получают ионно-лучевым распылением (IBS) [27], напылением с помощью ионного пучка (IBAD) [28], молекулярно-лучевой эпитаксией (MBE) [29], магнетронным распылением (MS) [30], химическими методами (CVD, PECVD) [31] и реактивным импульсным лазерным напылением (RPLD) [32]. Этими методами синтезированы как аморфные, так и кристаллические пленки с различными оптическими характеристиками. Целью данной работы являлось изучение возможности создания многослойного чувствительного элемента TSPD с  $\text{SiO}_2$  антиотражающим слоем. Пленки  $\text{SiO}_2$  были нами получены при различных условиях на различных подложках и покрытиях методом электронно-лучевого напыления (EBPVD).

## 2. Эксперимент

Напыление пленок SiO<sub>2</sub> проводилось на вакуумной установке ВУ-1А, оснащенной электронной пушкой с энергией электронного пучка 6 кэВ. Вакуум в камере напыления перед началом процесса был на уровне 10<sup>-5</sup> торр. Во всех процессах напыления использовались мишени из кристаллического кварца с 99.9% содержанием основного вещества. Пленки напылялись на подложки с площадью поверхности 10×10 мм<sup>2</sup> из сапфира (Al<sub>2</sub>O<sub>3</sub>), кремния (Si) и нитрида алюминия (AlN) с шероховатостью (*Ra*) в пределах 2–5 нм, 4–10 нм и 19–25 нм соответственно. Температура подложек в процессе напыления составляла 290°С и контролировалась с помощью хромель-копелевой термопары. Пленки SiO<sub>2</sub> напылялись также на полученные ранее пленки вольфрама (W), гексаборидов лантана (LaB<sub>6</sub>) и церия (CeB<sub>6</sub>) с шероховатостью меньше 20 нм.

Толщина пленок и шероховатость образцов измерялась с помощью профилометра Ambios Technology XP-1. Вертикальное разрешение профилометра при перепаде измеряемых высот до 10 мкм составляло 0.1 нм. Толщина пленок определялась по пяти измерениям с последующим усреднением. Отклонение от среднего значения толщины пленок не превышало ±5%.

Микроструктура поверхности и элементный состав образцов исследовались с помощью сканирующего электронного микроскопа (СЭМ) VEGA TS5130MM, оснащенного системой энергодисперсионного рентгеновского микроанализа INCA Energy 300. Оптические спектры отражения измерялись при комнатной температуре на спектрофотометре СФ-8 с приставкой зеркального отражения. Коэффициент отражения определялся с точностью 0.01 во всем диапазоне измерений 1–2 мкм.

## 3. Результаты и их обсуждение

В табл.1 приведены параметры процесса напыления пленок SiO<sub>2</sub>: ток эмиссии (*I<sub>E</sub>*), ток катода (*I<sub>C</sub>*), длительность процесса (*t*), расстояние мишень-подложка (*d*) и скорость напыления (*V*). Скорость напыления рассчитывалась по средней толщине пленок данного напыления.

Табл.1. Параметры напыления пленок SiO<sub>2</sub>

№	<i>I<sub>E</sub></i> , mA	<i>I<sub>C</sub></i> , A	<i>T</i> , мин	<i>d</i> , см	<i>V</i> , нм/мин
SiO1	60	19	3	16	2133
SiO2	100	20	~1	64	250
SiO3	>100	24	~1	50	440

В держателе подложек располагались по 4 образца в 3 рядах. В результате каждого напыления получалось 12 образцов. Используемая маркировка образцов включает номер процесса напыления (SiO1-SiO3), номер образца в ряду держателя (a-d) и номер ряда (1–3). Пленки напылений SiO2 и SiO3 практически прозрачные, а пленки напыления SiO1 слегка матовые, все пленки имеют гладкую поверхность. Профиль поверхности пленок SiO<sub>2</sub>, напыленных на подложку Al<sub>2</sub>O<sub>3</sub> и многослойное покрытие W/CeB<sub>6</sub> приведен на рис.1. Сканирование проводилось на длине 500 мкм в центральной части поверхности образцов.

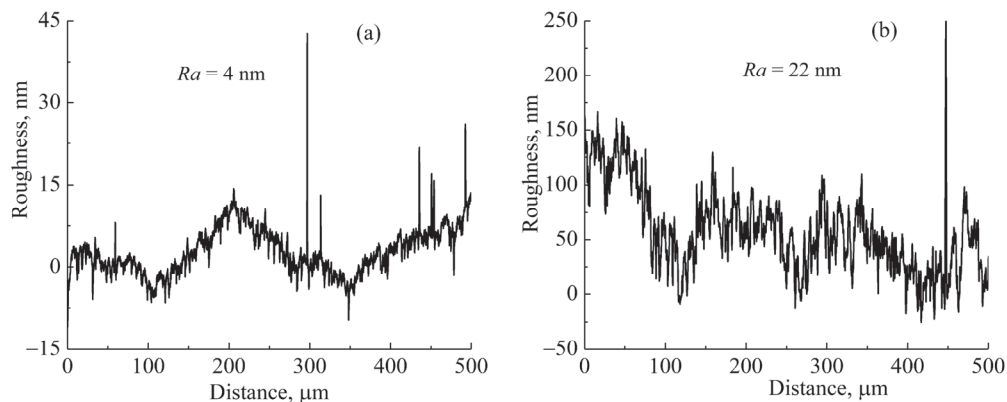


Рис.1. Шероховатость поверхности пленок: (a) SiO<sub>2</sub>a3 на подложке Al<sub>2</sub>O<sub>3</sub>, (b) SiO<sub>2</sub>c2 на покрытии W/CeB<sub>6</sub>.

Сравним шероховатости представленных на рис.1 пленок. Поверхность пленки, напыленной на подложку Al<sub>2</sub>O<sub>3</sub> более гладкая и имеет шероховатость 4 нм, а у пленки напыленной на многослойное покрытие W/CeB<sub>6</sub>/Al<sub>2</sub>O<sub>3</sub> шероховатость значительно больше – 22 нм. В обоих случаях шероховатость поверхности пленок SiO<sub>2</sub> обуславливается шероховатостью поверхности, на которую она напыляется.

Для изучения химического состава и микроструктуры поверхность образцов была покрыта тонким слоем алюминия. Состав пленок всех трех напылений практически не отличался от стехиометрического (максимальная статистическая ошибка измерения содержания Si и O составляла ±0.21 ат % и ±0.37 ат % соответственно). Неконтролируемые примеси не были обнаружены.

На микрофотографиях поверхности пленок нам не удалось увидеть гранулы даже при увеличении электронного микроскопа в 50 000 раз. Данный факт позволяет предположить, что нами получены аморфные пленки, что подтверждается отсутствием максимумов на рентгенограммах образцов всех трех напылений, которые свойственны кристаллическим образцам SiO<sub>2</sub>. При меньшем увеличении в отдельных местах на гладкой поверхности некоторых пленок серии

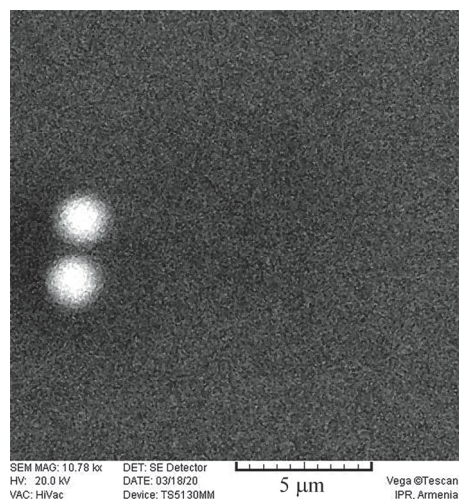


Рис.2. СЭМ изображения поверхности образца SiO<sub>1a2</sub> на подложке Al<sub>2</sub>O<sub>3</sub>, увеличение 10 000×.

SiO1 можно увидеть частицы сферической формы микронных размеров, что является результатом присутствия мелких капель расплава в испаренном электронным пучком веществе мишени. Очевидно, что процесс испарения мишени проходит довольно интенсивно при использованных условиях напыления. На рис.2 представлены СЭМ изображения поверхности образца SiO<sub>1a2c</sub> с описанными дефектами.

Табл.2. Толщина, шероховатость поверхности и коэффициент оптического отражения пленок SiO<sub>2</sub>

№	Подложка	<i>h</i> , нм	<i>Ra</i> , нм	<i>R</i>	
				1310 нм	1550 нм
SiO1a2	Al <sub>2</sub> O <sub>3</sub>	6250	2.4	0.02	0.03
SiO1c2	W/CeB <sub>6</sub> /Al <sub>2</sub> O <sub>3</sub>	4500	22.5	0.56	0.44
SiO1d2	W/Al <sub>2</sub> O <sub>3</sub>	6700	14.9	0.52	0.57
SiO2d1	LaB <sub>6</sub> /CeB <sub>6</sub> /Si	338	17.6	0.78	0.71
SiO2c2	W/CeB <sub>6</sub> /Al <sub>2</sub> O <sub>3</sub>	212	22	0.57	0.57
SiO2d2	W/Al <sub>2</sub> O <sub>3</sub>	208	5	0.57	0.55
SiO2a3	Al <sub>2</sub> O <sub>3</sub>	219	4	0.04	0.02
SiO2b3	AlN	249	23	0.04	0.03
SiO2d3	Si	262	3.37	0.36	0.31
SiO3c2	W/CeB <sub>6</sub> /Al <sub>2</sub> O <sub>3</sub>	223	7.9	0.56	0.66
SiO3a3	Al <sub>2</sub> O <sub>3</sub>	456	4	0.05	0.05

Для оценки возможности применения пленок  $\text{SiO}_2$  в качестве антиотражающего покрытия нами изучены спектры оптического отражения образцов различной толщины и с различной шероховатостью. Результаты профилометрии и исследования оптического отражения полученных образцов обобщены в табл.2, где приведены номер образца, тип подложки или многослойной структуры, на которые напылялись пленки, толщина пленки ( $h$ ), шероховатость поверхности пленки ( $Ra$ ), коэффициент отражения ( $R$ ) на длине волны 1310 нм и 1550 нм. Излучение этих длин волн наиболее часто используется в телекоммуникационных системах связи. Из данных таблицы следует, что толщины пленок одного и того же процесса напыления несколько отличаются, что является следствием угловой зависимости скорости массопереноса испаренного из мишени вещества. Эта особенность свойственна всем методам напыления фокусированным пучком с небольшой площади мишени. В то же время, значительно отличаются толщины пленок различных напылений. Толстые пленки ( $\sim 6.5$  мкм) получены в первом, более продолжительном напылении при наименьшем расстоянии мишень-подложка. Толщины пленок двух других напылений значительно меньше ( $\sim 0.2$ – $0.4$  мкм).

Шероховатость пленок находится в пределах от минимальной 2.4 нм (SiO1a2, подложка  $\text{Al}_2\text{O}_3$ ) до максимальной 27 нм (SiO1c2, покрытие W/CeB<sub>6</sub>). Коэффициент отражения на длине волны 1310 нм изменяется от 0.02 (SiO1a2, подложка  $\text{Al}_2\text{O}_3$ ) до 0.78 (SiO2d1, покрытие LaB<sub>6</sub>/CeB<sub>6</sub>/Si), а на длине волны 1550 нм – от 0.03 (SiO1a2, подложка  $\text{Al}_2\text{O}_3$ ; SiO2b3, подложка AlN) до 0.71 (SiO2d1, покрытие LaB<sub>6</sub>/CeB<sub>6</sub>/Si).

Коэффициент отражения пленок  $\text{SiO}_2$  на подложке  $\text{Al}_2\text{O}_3$  изменяется в небольших пределах 0.02–0.05 для пленок всех трех напылений со значительно разной толщиной и практически одинаковой шероховатостью (2.4–4 нм). Коэффициент отражения пленки на подложке AlN, при значительно большей шероховатости поверхности (23 нм), также мал – 0.04 ( $\lambda=1310$  нм) и 0.03 ( $\lambda=1550$  нм). Пленки  $\text{SiO}_2$ , напыленные на W подслоем (SiO1d2, SiO2d2) или многослойное покрытие с W верхним слоем (SiO1c2, SiO2c2, SiO3c2), имеют намного больший коэффициент отражения (0.44–0.66) при изменении значений шероховатости в пределах 5–27 нм. В этих же пределах (0.44–0.66,  $\lambda=1550$  нм) изменяется коэффициент отражения пленок  $\text{SiO}_2$  на многослойном покрытии с CeB<sub>6</sub> верхним слоем, хотя на длине волны 1310 нм коэффициент отражения для пленок всех трех напылений (SiO1c2, SiO2c2 SiO3c2) практически одинаков. Максимальным отражением 0.78 и 0.71, на длинах волн 1310 нм и 1550 нм соответственно, обладает образец SiO2d1, в котором пленка  $\text{SiO}_2$  напылена на многослойное покрытие с LaB<sub>6</sub> верхним слоем.

Обобщая данные таблицы 2, можем утверждать, что величина коэффи-

коэффициента отражения пленок  $\text{SiO}_2$  на обеих рассмотренных длинах волн зависит от материала слоя, на который напылена пленка и не зависит от шероховатости поверхности пленки. Последнее не вызывает удивления, т.к. даже максимальная шероховатость поверхности образцов намного меньше длин волн излучения ближней ИК области.

Спектры отражения в интервале 1–2 мкм пленок  $\text{SiO}_2$  на  $\text{Al}_2\text{O}_3$  и  $\text{AlN}$  подложках трех напылений приведены на рис.3. Как видно из графиков, во всей области измерений отражение меньше 10%, а в спектральной области 1300–2000 нм отражение порядка 3%. Следовательно, в спектральной области 1300–1600 нм двухслойные покрытия  $\text{SiO}_2/\text{Al}_2\text{O}_3$  и  $\text{SiO}_2/\text{AlN}$  могут быть использованы в качестве антиотражающего покрытия.

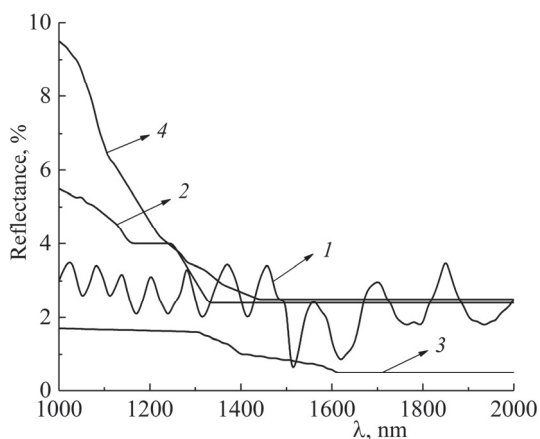


Рис.3. Спектры отражения пленок  $\text{SiO}_2$ : 1 –  $\text{SiO}_2/\text{Al}_2\text{O}_3$ , 2 –  $\text{SiO}_2/\text{Al}_2\text{O}_3$ , 3 –  $\text{SiO}_2/\text{AlN}$  на подложке  $\text{Al}_2\text{O}_3$  и 4 –  $\text{SiO}_2/\text{AlN}$  на подложке  $\text{AlN}$ .

#### 4. Заключение

Электронно-лучевым методом на различных подложках и многослойных покрытиях получены пленки  $\text{SiO}_2$ . Исследованы микроструктура и шероховатость поверхности, элементный состав и спектры оптического отражения. На основе исследования оптических характеристик образцов сделан вывод о том, что пленки  $\text{SiO}_2$  уменьшают отражение в диапазоне 1300–1600 нм, но у пленок на покрытиях  $\text{W}$ ,  $\text{CeB}_6$ ,  $\text{LaB}_6$  коэффициент отражения выше 0.5, что не может обеспечить высокую эффективность детектирования. Коэффициент отражения менее 0.03, достигнут для пленок  $\text{SiO}_2$  различной толщины и шероховатости на подложках  $\text{Al}_2\text{O}_3$  и  $\text{AlN}$ . Таким образом можем предположить, что покрытие, состоящее из слоев  $\text{AlN}$ ,  $\text{Al}_2\text{O}_3$  и  $\text{SiO}_2$ , может уменьшить коэффициент отражения в ИК диапазоне и использоваться в качестве антиотражающего слоя в чувствительном элементе TSPD для достижения высокой эффективности детектирования.

Авторы выражают благодарность А.М. Гуляну за интерес к работе и полезные обсуждения.

Исследование выполнено при финансовой поддержке Государственного комитета по науке МОН РА в рамках научного проекта № 18Т-2F134.

#### ЛИТЕРАТУРА

1. **C.J. Chunnillal, I.P. Degiovanni, S. Kuck, I. Muller, A. G. Sinclair.** *Optical Engineering*, **53(8)**, 081910 (2014).
2. **M.D. Eisaman, J. Fan, A. Migdall, S.V. Polyakov.** *Review of Scientific Instruments*, **82**, 071101 (2011).
3. **R.H. Hadfield.** *Nature Photonics*, **3**, 696 (2009).
4. **H. Zhang, L. Xiao, B. Luo, J. Guo, L. Zhang, J. Xie.** *J. Phys. D: Appl. Phys.*, **53**, 013001 (2020).
5. **P.A. Hiskett, D. Rosenberg, C.G. Peterson, R.J. Hughes, S. Nam, A.E. Lita, A.J. Miller, J.E. Nordholt.** *New J. Phys.*, **8**, 193 (2006).
6. **E. Knill, R. Laflamme, G. J. Milburn.** *Nature*, **409**, 46 (2001).
7. **G.G. Fritz, K.S. Wood, D. Van Vechten, A.L. Gyulamiryan, A.S. Kuzanyan, N.J. Giordano, T.M. Jacobs, H.-D. Wu, J.S. Horwits, A.M. Gulian.** *Proc. SPIE, San Diego, CA*, **4140**, 459 (2000).
8. **D. Van Vechten, K. Wood, G. Fritz, J. Horwitz, A. Gyulamiryan, A. Kuzanyan, V. Vartanyan, A. Gulian.** *Nucl. Instrum. Meth. Phys. Res. A*, **444**, 42 (2000).
9. **V.A. Petrosyan.** *J. Contemp. Phys. (Armenian Ac. Sci.)*, **46**, 125 (2011).
10. **A.A. Kuzanyan, V.R. Nikoghosyan, A.S. Kuzanyan.** *J. Contemp. Phys. (Armenian Ac. Sci.)*, **52**, 249 (2017).
11. **A.A. Kuzanyan, V.R. Nikoghosyan, A.S. Kuzanyan.** *Proc. SPIE*, **10229**, 10229 (2017).
12. **A.A. Kuzanyan.** *J. Contemp. Phys. (Armenian Ac. Sci.)*, **51**, 360 (2016).
13. **A.A. Kuzanyan, V.R. Nikoghosyan, A.S. Kuzanyan.** *J. Contemp. Phys. (Armenian Ac. Sci.)*, **53**, 73 (2018).
14. **A.A. Kuzanyan, A.S. Kuzanyan, V.R. Nikoghosyan.** *J. Contemp. Phys. (Armenian Ac. Sci.)*, **53**, 242 (2018).
15. **A.S. Kuzanyan, A.A. Kuzanyan, V.N. Gurin, M.P. Volkov, V.R. Nikoghosyan.** *Semiconductors*, **53(5)**, 682 (2019).
16. **A.A. Kuzanyan, A.S. Kuzanyan, V.R. Nikoghosyan.** *J. Contemp. Phys. (Armenian Ac. Sci.)*, **54**, 175 (2019).
17. **A.A. Kuzanyan, V.R. Nikoghosyan, A.S. Kuzanyan.** *IEEE Sensors*, **20(6)**, 3040 (2020).
18. **W.J. Zhang, L.X. You, H. Li, J. Huang, C.L. Lv, L. Zhang, X.Y. Liu, J.J. Wu, Z. Wang, X.M. Xie.** *Sci. China-Phys. Mech. Astron.*, **60**, 120314 (2017).
19. **I.E. Zadeh, J.W.N. Los, R.B.M. Gourgues, G. Bulgarini, S.M. Dobrovolskiy, V. Zwiller, S.N. Dorenbosz.** *ArXiv:1801.06574v1* (2018).
20. **M. Caloz, M. Perrenoud, C. Autebert, B. Korzh, M. Weiss, C. Schönenberger, R.J. Warburton, H. Zbinden, F. Bussières.** *Appl. Phys. Lett.*, **112**, 061103 (2018).
21. **S. Dzioba, R. Rousina.** *J. Vac. Sci. Technol. B*, **12**, 433 (1994).

22. **A.A. Volinsky, J.B. Vella, W.W. Gerberich.** *Thin Solid Films*, **429**, 201 (2003).
23. **J. Olivares, E. Wegmann, J. Capilla, E. Iborra, M. Clement, L. Vergara, R. Aigner.** *IEEE Trans Ultrason Ferroelectr Freq Control*, **57(1)**, 23 (2010).
24. **M. Mazur, D. Wojcieszak, J. Domaradzki, D. Kaczmarek, S. Song, F. Placido.** *Electron Rev.*, **21(2)**, 233 (2013).
25. **J. Boudadena, P. Oelhafena, A. Schulerb, C. Roeckerb, J.-L. Scartezzinib.** *Solar Energy Materials & Solar Cells*, **89**, 209 (2005).
26. **H.K. Raut, A.S. Nair, S.S. Dinachali, V.A. Ganesh, T.M. Walsh, S. Ramakrishna.** *Solar Energy Materials & Solar Cells*, **111**, 9 (2013).
27. **E. Çetinörgü, B. Baloukas, O. Zabeida, J.O. Klemberg-Sapieha, L. Martinu.** *Appl. Opt.*, **48(23)**, 4536 (2009).
28. **J.Z. Wang, Y.Q. Xiong, D.S. Wang, H.K. Liu.** *Physics Procedia*, **18**, 143 (2011).
29. **T. Harada, Y. Yamada, H. Uyama, T. Murata, H. Nozoye.** *Thin Solid Films*, **392(2)**, 191 (2001).
30. **W.-F. Wu, B.-S. Chiou.** *Appl. Surf. Sci.*, **99(3)**, 237 (1996).
31. **W. Klug, R. Schneider, A. Zoller.** *Proc. SPIE*, **1323**, 88 (1990).
32. **N. Charnd, J.E. Johnson, J.W. Oscenbach, W.C. Liang, L.C. Feldman, W.T. Tsang, H.W. Krautter, M. Passlack, R. Hull, V. Swaminathan.** *J. Cryst. Growth*, **148**, 336 (1995).

THE USE OF SILICON DIOXIDE FILMS AS AN ANTIREFLECTION  
COATING FOR A THERMOELECTRIC SINGLE-PHOTON DETECTOR

A.A. KUZANYAN, S.I. PETROSYAN, A.S. KUZANYAN, G.R. BADALYAN

The anti-reflection layers are an important parts of high-performance single-photon detectors' sensitive elements. Amorphous silicon dioxide films are obtained by electron beam deposition method on Al<sub>2</sub>O<sub>3</sub>, AlN, Si substrates and CeB<sub>6</sub>, LaB<sub>6</sub>, W coatings. The elemental composition, microstructure and roughness of the surface as well as the optical characteristics of samples obtained under various deposition conditions are investigated. It is shown that SiO<sub>2</sub>/Al<sub>2</sub>O<sub>3</sub> and SiO<sub>2</sub>/AlN two-layer coatings can provide high detection efficiency for detecting near infrared region radiation, that is used in telecommunication systems and quantum information processing devices.